

日本大学短期大学部 正会員 下辺 悟
八戸工業大学工学部 正会員 諸戸 靖史

1. はじめに 筆者の一人である諸戸は、最上の強度式を用いて、定数 k を次式によって求め、

$$k = (1 + e_0) \sin \phi \quad e_0: \text{初期間隙比}, \phi: \text{内部摩擦角} (= \phi_a) \quad (1)$$

同一材料に対しては、初期間隙比が変わっても k の値の一定性が良いことを確かめている。

そして k と最小間隙比 e_{min} の間に

$$k = a e_{min} + b \quad a, b: \text{粒子物性によって定まる定数} \quad (2)$$

という関係があることを見出した。¹⁾ つまり通常の拘束圧の下では、式(1), (2)より

$$\sin \phi = a C_f + \alpha \rho_a^* \quad (3)$$

となり、内部摩擦角 ϕ は締固め度 C_f と密度 ρ_a^* の両方に依存することが知られる。²⁾ ここで、

$$C_f = \frac{1 + e_{min}}{1 + e_0}, \quad \alpha = (b - a), \quad \rho_a^* = \frac{1}{1 + e_0}$$

本研究は種々の粗粒土の $k - e_{min}$ 関係を用いた考察により、式(3)の妥当性について検討したものである。

2. $\bar{k} - e_{min}$ 関係の特性 式(3)の妥当性を検証する前に、式(2)の $k - e_{min}$ 関係における定数 a と b が粒子形状 (ラウンドネス R) および粒度 (均等係数 Uc) にどのように依存するのかを調べておく必要がある。図-1 は定数 k の平均値を \bar{k} とした砂の $\bar{k} - e_{min}$ 関係を粒子形状が異なる均等粒径試料について示したものである。図-1 のデータ (N=23) の直線回帰分析の結果、 $a_1=1.290, b_1=0.314, \alpha_1=-0.976$ の値が得られた。

ここで a_1, b_1, α_1 は上記粒子特性の場合の定数である。

$$\bar{k} = 1.290 e_{min} + 0.314 \quad (\text{相関係数 } r = 0.953) \quad (4)$$

$$\sin \phi = 1.290 C_f - 0.976 \rho_a^* \quad (5)$$

なお図中には式(4)も併記しているが、追加補足データからもわかるようにその適用性はかなり高い。したがって、式(4)は細粒土の塑性図における A 線と同様な性質を有するものである。図-2 および 3 に各種粗粒材料の $\bar{k} - e_{min}$ 関係を示す。その結果、粗粒土において上に述べた特性線の存在の妥当性が確かめられた。また、粒子形状一定で粒度が異なる場合の $\bar{k} - e_{min}$ 関係は、材料の種類によらず A 線から左側下方へ (ガラスビーズは異なる) 分岐して次のような直線で表されるようである。

$$\bar{k} = 0.260 e_{min} + b_2 \quad (6)$$

ここで、 b_2 は粒子形状に依存する定数であり、 $a_1 > a_2 (= 0.260)$ となる。ただし、式(6)は福本(1969)の加古川砂 (D1~6) の直線回帰分析結果 ($r = 0.987$) を基本とした。

3. 内部摩擦角と締り具合 式(3)は C_f が ρ_a^* に

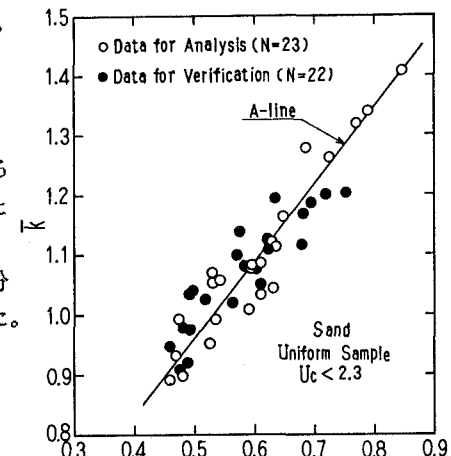


図-1 砂の $\bar{k} - e_{min}$ 関係 (均等粒度)

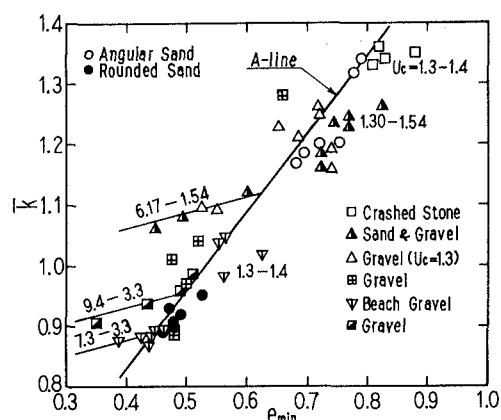


図-2 砂および礫の $\bar{k} - e_{min}$ 関係

従属しているので（または逆），次式のように書き換えられる。

$$\sin \phi = \left\{ a + \frac{\alpha}{1 + e_{\min}} \right\} C_f$$

また、 $\sin\phi = \sin\phi_M \cdot C_f$ より

$$\sin \phi_M = \frac{k}{1 + e_{\min}} = a + \frac{\alpha}{1 + e_{\min}}$$

ここで、 ϕ_M は e_{\min} の状態において示す内部摩擦角である。

したがって、均等粒度で粒子形状や表面性状が異なる粗粒土の内部摩擦角 ϕ と締固め度 C_f の関係は、式(5)、(7)より

$$\phi = \sin^{-1} \left\{ (1.290 - \frac{0.976}{1 + e_{min}}) C_f \right\} \text{ (度)} \quad (6)$$

となる。一方、同じ粒子形状を持った材料で粒度を変化させた場合には、式(6)、(7)より、

$$\phi = \sin^{-1} \left\{ (0.260 + \frac{b_z - 0.260}{1 + e_{min}}) C_f \right\} \text{ (度)}$$

を得る。ただし、今のところ定数 b_2 と
粒子形状を表すラウンドネスなどのパラ
メーターとの関係はまだ確立していない。
図-4(a)～(d)は式(9)、(10)の関係式の妥当
性を、砂およびガラスビーズの三軸圧縮
試験結果に基づいて検証したものである。

なお、図中の実線は式(9)、破線および一点鎖線は式(10)による予測曲線である。図-4より、両関係式の予測曲線は実測値の傾向を良く説明している。

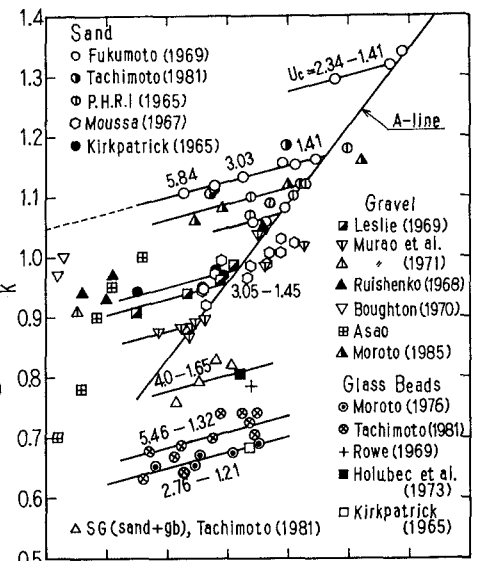


図-3 粗粒材料の \bar{k} - e_{min} 關係

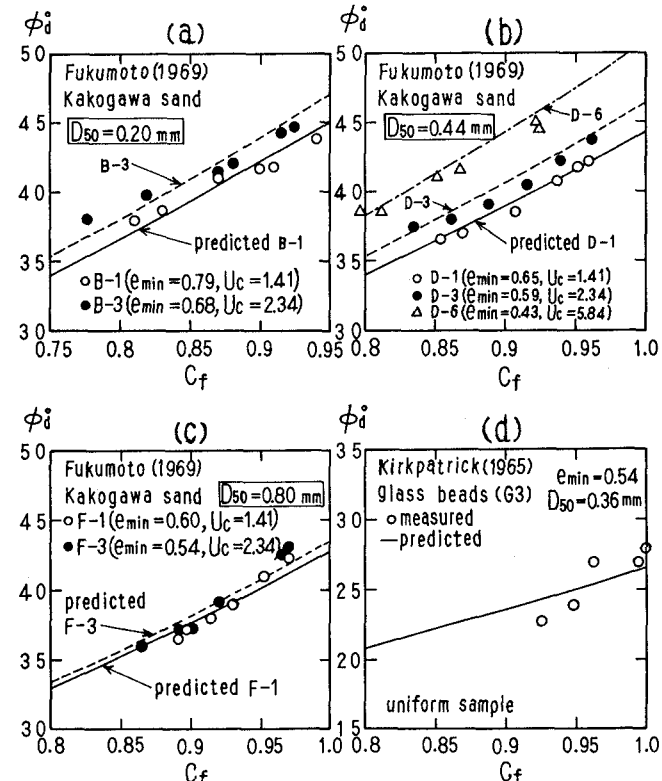


図-4(a)~(d) 砂およびガラスビーズにおける
 $\phi_a - C_f$ 関係の検証